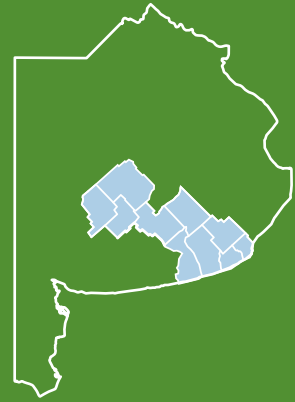


FEBRERO 2026

# Informe mensual agropecuario

INTA Balcarce y su área de influencia



Instituto Nacional de  
Tecnología Agropecuaria  
Argentina

Estación Experimental  
Agropecuaria  
Balcarce

CONICET



I P A D S

INTA  
Ediciones 

CLI  
MA

2

PRO  
NOS  
TICO  
15 DÍAS

3

PRO  
NOS  
TICO  
TRIMESTRAL

4

CON  
SUMO  
DE  
AGUA

5

ÍNDICE  
VERDE

6

AGRI  
CUL  
TURA  
SOJA

7

AGRI  
CUL  
TURA  
MAÍZ

8

AGRI  
CUL  
TURA  
GIRASOL

9

AGRI  
CUL  
TURA  
SANIDAD

10

GANA  
DERIA  
PASTIZALES  
PASTURAS

11

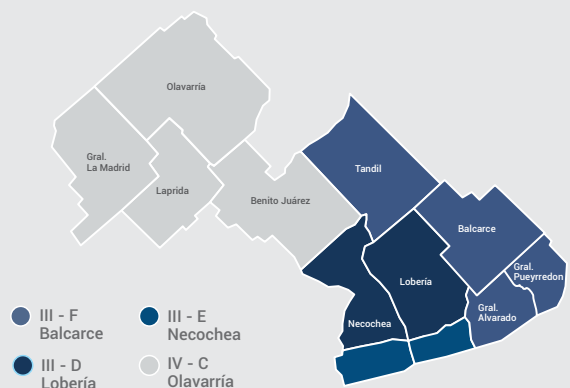
GANA  
DERIA  
VERDEOS  
RODEOS

12

GANA  
DERIA  
TASAS  
PASTURAS

13

La Estación Experimental Agropecuaria Balcarce abarca una superficie de 4,2 millones de hectáreas que comprende 10 partidos de la provincia de Buenos Aires. Se agrupa en áreas geográficas con cierto grado de homogeneidad en cuanto a suelo y clima, pudiéndose diferenciar zonas agroecológicas homogéneas. La zona III se ubica en el **sudeste** de la EEA Balcarce y la zona IV en el **centro - oeste** de la EEA Balcarce.





## TEMPERATURA

**39,3°C** | MÁXIMA registrada Miramar

**28,6°C** | MÁXIMA MEDIA

**21,0°C** | MEDIA territorio

**13,3°C** | MÍNIMA MEDIA

**3,2°C** | MÍNIMA registrada Miramar

## PRECIPITACIONES

Benito Juárez  
465 mm



**349**  
mm

250 mm  
Gral. Pueyrredón

MEDIA ACUMULADA  
OCT 2025 - FEB 2026

FEBRERO 2025

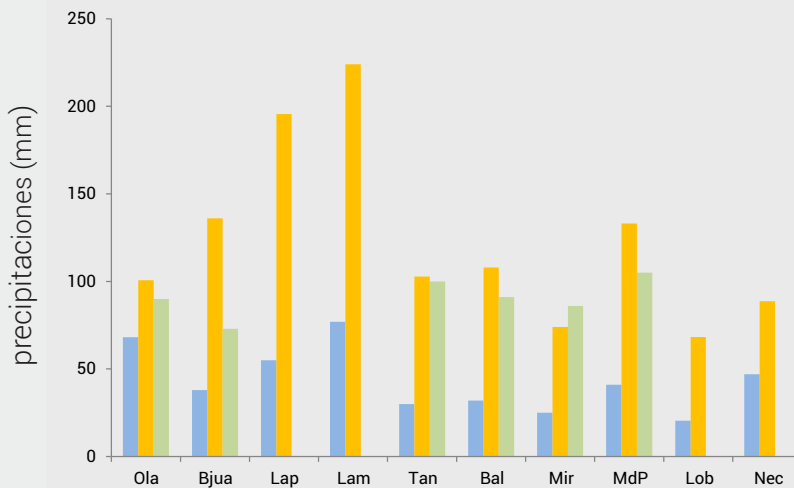
-35%



-48%  
Históricos  
(91 mm)

**43**  
mm

MEDIA  
Febrero



- 2026
- 2025
- Histórica

Precipitaciones (mm) registradas en estaciones meteorológicas y establecimientos productivos, en los partidos de Olavarría (Ola), Benito Juárez (BJua), Laprida (Lap), Gral. La Madrid (Lam), Tandil (Tan), Balcarce (Bal), Gral. Alvarado (Mir), Gral. Pueyrredón (MdP), Lobería (Lob) y Necochea (Nec) en el mes de febrero del año 2026, 2025 e históricas. Las precipitaciones históricas corresponden a información del SMN para Ola (2013-2025), BJua (2010-2025), Tan (2013-2025), MdP (2010-2025), del INTA para Bal (2010-2025) y del MDA para Mir (1971-2025).

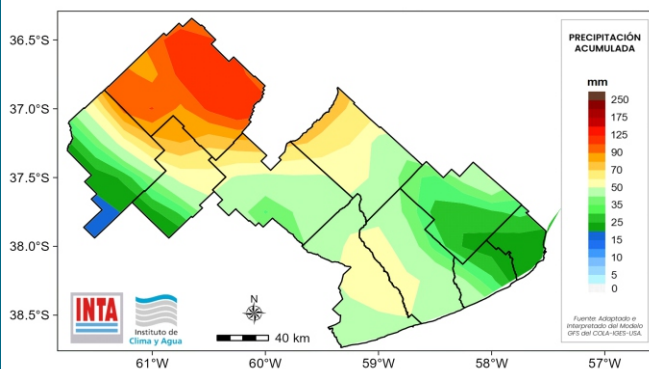


## 12 al 17 de marzo

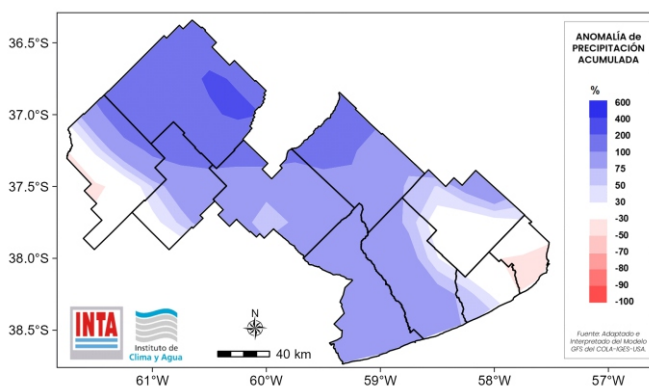
El fin de semana se presentarían condiciones de tiempo inestable en la región con algunas lluvias aisladas. Durante toda la semana se registraría paulatino ascenso de las temperaturas con ambiente cálido a caluroso. Luego entre el lunes y el martes de la semana siguiente se prevé el pasaje de un frente frío con abundante nubosidad y la posibilidad de lluvias y tormentas de variada intensidad.

De este modo, los acumulados esperados serían superiores los promedios para esta semana en gran parte de la región.

### Precipitación (mm)



### Anomalía de precipitación (%)



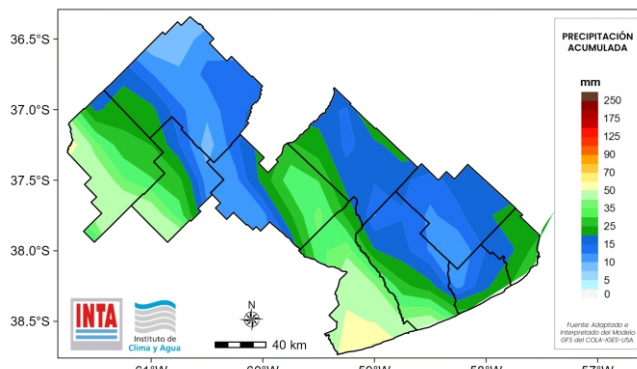
Nota: por anomalía de entiende al porcentaje entre el valor de lluvia pronosticado y el valor promedio histórico (1961-2010) de dicho periodo de pronóstico. Actualizado el día 04/03/2026.

## 18 al 23 de marzo

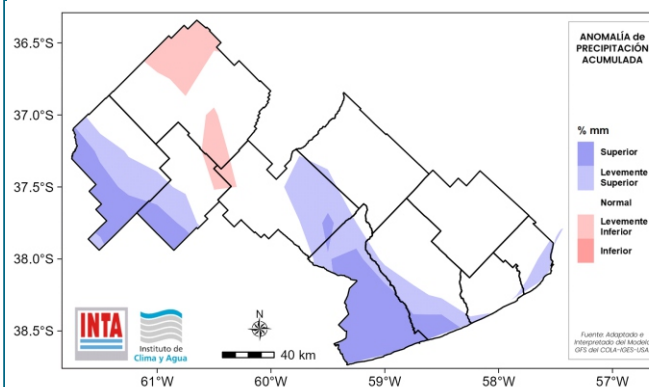
Continuarían las precipitaciones durante el día 18. Luego se prevé un marcado descenso de las temperaturas con vientos del sector sur hacia el fin de semana siguiente.

Para esto días, los acumulados de lluvia serían entre superiores a normales para la época en la región.

### Precipitación (mm)



### Anomalía de precipitación (%)



Nota: por anomalía de entiende al porcentaje entre el valor de lluvia pronosticado y el valor promedio histórico (1961-2010) de dicho periodo de pronóstico. Actualizado el día 04/03/2026.

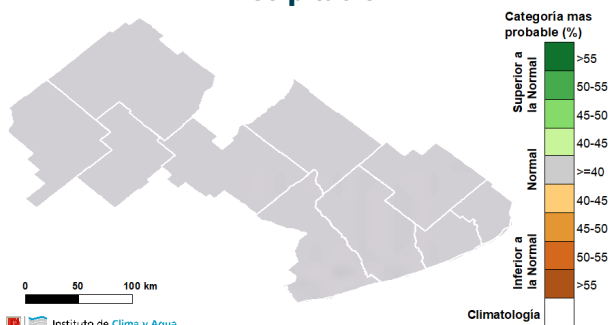


## MAR > ABR > MAY

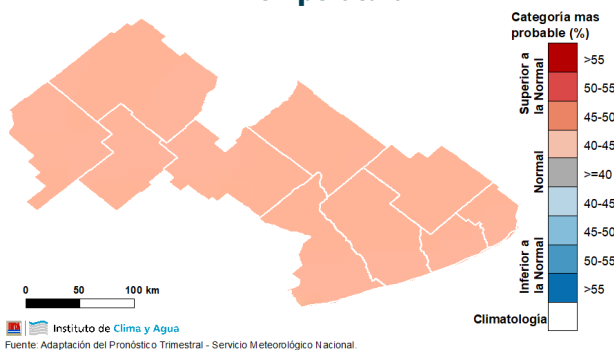
Se presentan mayores chances de transitar un trimestre con lluvias normales para la época en toda la región. Según los registros históricos, los acumulados normales para este trimestre se ubican entre los 190 y 275mm.

En cuanto a las temperaturas medias del trimestre, este pronóstico le asigna una mayor probabilidad a que los valores sean normales a más cálidos para la época.

### Precipitación



### Temperatura



La actualización del pronóstico climático se realiza por consenso entre el Servicio Meteorológico Nacional (SMN) e Instituciones Nacionales (incluida el INTA).

Actualizado el día 27/02/2026.

## Laboratorio de Agrometeorología

Área de investigación en Agronomía  
Estación Experimental Agropecuaria  
INTA Balcarce

Unidad Integrada Balcarce (INTA Balcarce-  
Facultad de Ciencias Agrarias, UNMdP)  
Instituto de Innovación para la Producción  
Agropecuaria y el Desarrollo Sostenible  
(INTA-CONICET)

Ruta Nac. 226 km. 73,5. Balcarce, Buenos  
Aires, Argentina.

✉ eeabalcarce.agromet@inta.gov.ar

✂ agromet\_inta.balcarce

📷 @agrometbalcarce

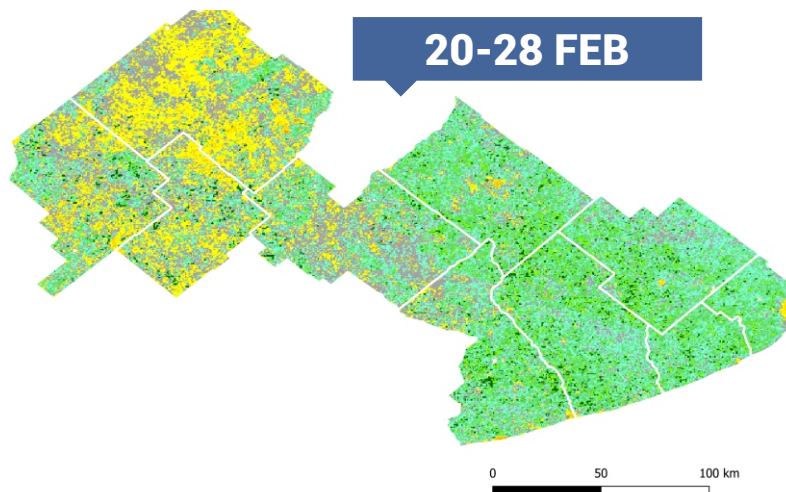
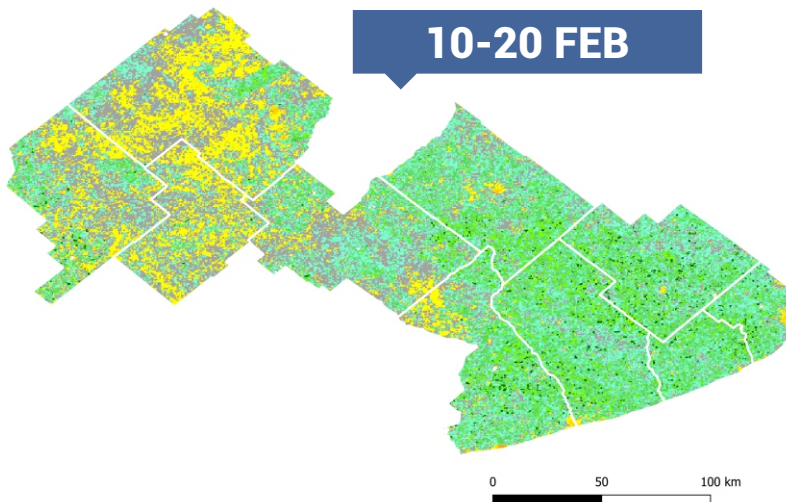
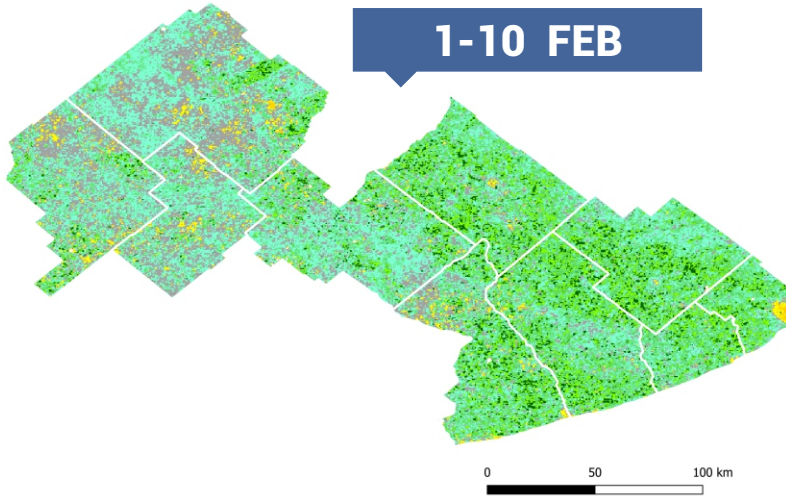
CONICET



I P A D S



UNIVERSIDAD NACIONAL  
de MAR DEL PLATA  
FACULTAD de CIENCIAS AGRARIAS

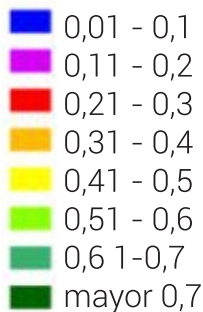
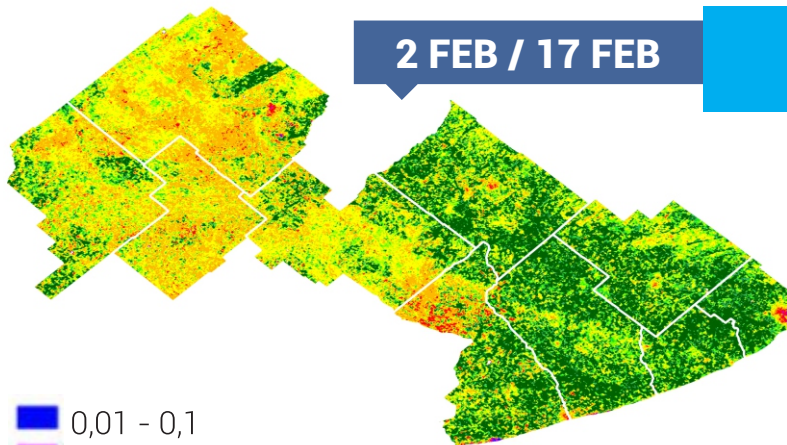


El consumo de agua o evapotranspiración real (ETR) es la cantidad de agua que es transpirada por la cubierta vegetal y aquella que es perdida desde la superficie del suelo por evaporación.

El consumo de agua puede ser utilizado para detectar la ocurrencia de deficiencias de agua, cuando su valor no alcanza el requerido por el cultivo.



Evapotranspiración real máxima (en el periodo de 10 días) expresada en mm/día estimada mediante el uso de imágenes del sensor VIIRS del satélite Suomi-NPP con una resolución espacial de 500 metros. Elaborado por Instituto de Clima y Agua, INTA Castelar. Recorte: Patricio Oricchio.



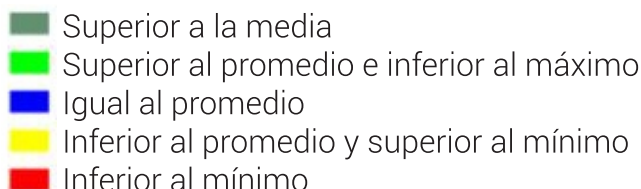
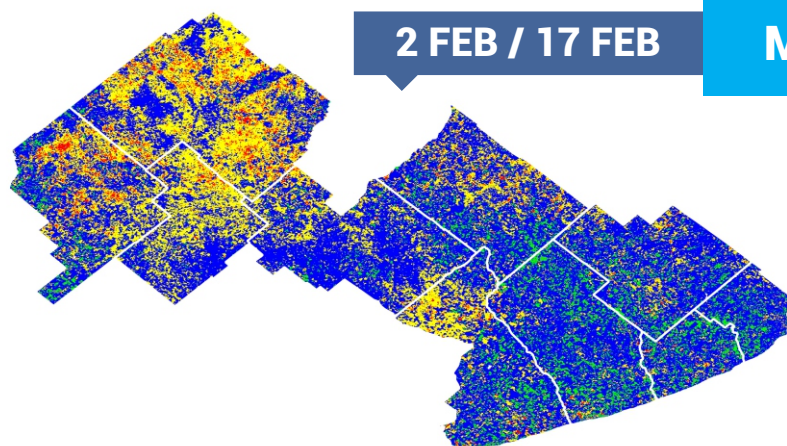
2 FEB / 17 FEB

## Mapa IVN 16 días

El Índice de Vegetación Normalizado (IVN), conocido como índice verde, es calculado con información captada por sensores remotos, y se asocia a la fracción de la radiación solar que es absorbida por las plantas.

Generalmente, los valores entre 0,2 y 0,4 corresponden a áreas con vegetación escasa; entre 0,4 y 0,6 a vegetación moderada y por encima de 0,6 a una mayor densidad de hojas verdes.

Índice de Vegetación Normalizado calculado tomando los valores máximos para una composición de imágenes correspondientes a 16 días utilizando el sensor MODIS de los satélites AQUA-TERRA con una resolución espacial de 6,25 hectáreas (250 m). Elaborado por Instituto de Clima y Agua, INTA Castelar. Recorte: Patricio Oricchio.



2 FEB / 17 FEB

## Mapa Anomalía Histórica

El mapa de anomalía histórica permite analizar si el índice verde aumentó, decreció o permaneció estable en un período de tiempo que comprende la imagen de cada 16 días actual y la imagen del mismo período promedio de la serie 2000 - 2024.

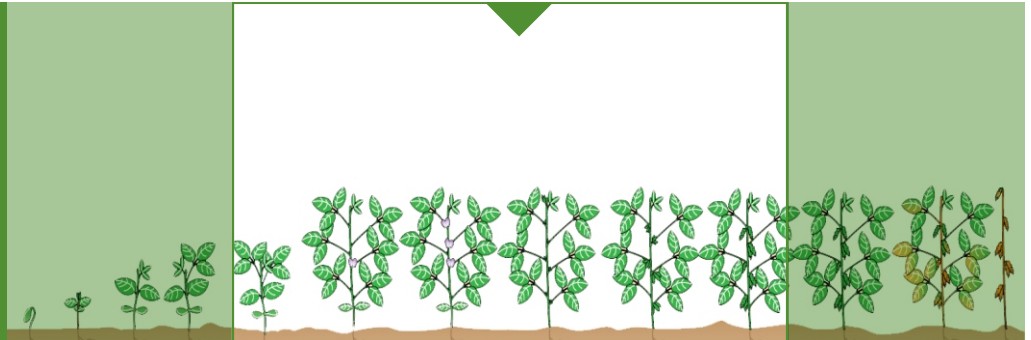
Anomalía histórica cada 16 días calculada utilizando imágenes del sensor MODIS de los satélites AQUA-TERRA con una resolución espacial de 6,25 hectáreas (250 m). Elaborado por Instituto de Clima y Agua, INTA Castelar. Recorte: Patricio Oricchio. Consulta más imágenes [aquí](#).



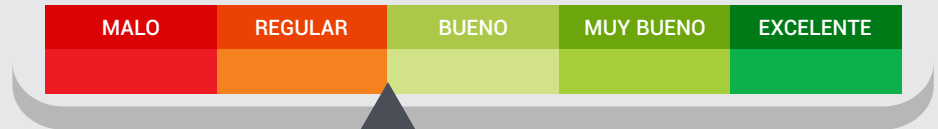
## SOJA

### Estado de desarrollo

Soja de primera: R2 - R6  
(floración completa  
- pleno llenado de vainas)  
Soja de segunda: V5 - R2  
(5° nudo - floración completa)



### Situación general



### Evolución del cultivo

La soja de primera ha evolucionado en forma variable en función a los ambientes y a las precipitaciones recibidas, las cuales fueron escasas y muy irregulares en toda la región durante el ciclo del cultivo. A final del mes comenzaron a aparecer isocas desfoliadoras y chinches, pero sin llegar a umbrales para toma de decisión. La sanidad del cultivo es buena, apareciendo algunas manchas foliares como mancha marrón y tizón de la hoja entre las principales. Las sojas de segunda se encuentran demoradas y muchos lotes quedaron ralos por fallas en nacimiento. Algunos lotes ya se abandonaron por falta de cobertura. En los mejores lotes y donde el cultivo se pudo desarrollar normal, están comenzando a florecer, pero sin llegar a pasar el rastrojo.





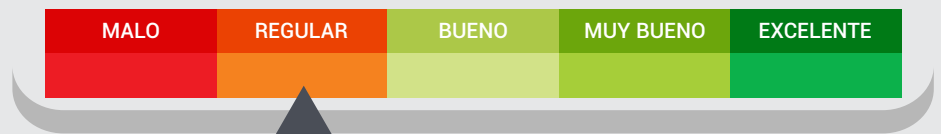
## MAÍZ

### Estado de desarrollo

Escala Ritchie y Hanway:  
Tempranos y tardíos: VT - R5  
(panojamiento - grano dentado).  
Segunda: V6 - R1  
(6 hojas expandidas -  
estigmas visibles).



### Situación general



### Evolución del cultivo

El cultivo estuvo condicionado por la ocurrencia de precipitaciones escasas e irregulares durante el período crítico en maíces de siembra temprana y tardía. Se esperan mermas de rendimiento entre el 20 y 25% en promedio en la región. Los maíces de segunda, presentaban un estado regular y mayor vulnerabilidad principalmente en el sudeste. En general, la evolución del cultivo está estrechamente ligada al agua acumulada en el perfil los primeros meses de crecimiento, definiendo contrastes notorios en el potencial productivo según la disponibilidad hídrica de cada lote.





## GIRASOL

### Estado de desarrollo

Escala Schneiter y Miller: R2 - R 7 (entrenado se elonga desde 0,5 a 2 cm por encima de la última hoja verdadera - la antesis es completa y las flores liguladas se marchitan).



### Situación general



### Evolución del cultivo

El desempeño del cultivo estuvo fuertemente determinado por la humedad acumulada en el perfil durante las etapas iniciales. En febrero el cultivo estuvo condicionado por la limitada disponibilidad de agua, con marcadas diferencias según el ambiente de cada lote y las precipitaciones registradas, en línea con lo observado en otros cultivos estivales. Si bien los controles de malezas fueron adecuados y no se registraron plagas ni enfermedades de relevancia, se observa una merma considerable en el potencial de rendimiento como consecuencia del estrés hídrico atravesado en el período crítico.





## PANORAMA SANITARIO

### Panorama sanitario de cultivos febrero 2026

Montoya, M.R.A.<sup>1</sup>

<sup>1</sup>Grupo Patología Vegetal, IPADS Balcarce (INTA Balcarce – CONICET),

La campaña 2025/2026 sigue teniendo características deficitarias en relación a las lluvias que históricamente se esperan en el sudeste bonaerense. Esto ha incluido a febrero, mes en el que normalmente suele recomponerse el aporte de agua. Este estrés indudablemente repercute en la magnitud de la severidad e incidencia de enfermedades en la mayoría de los cultivos.

En una recorrida reciente por lotes de producción de girasol para la RETSAVE (Red Territorial de Sanidad Vegetal, <https://www.retsave.com.ar>) por los partidos de Balcarce, Gral. Alvarado, Lobería, Mechongué y Pieres se han observado, igualmente, niveles variables de severidad de algunas enfermedades prevalentes y de otras que normalmente no se observan en la zona. Las más frecuentemente observadas de esta campaña fueron la típica mancha de la hoja por *Alternaria* (90 % de los lotes), el cancro del tallo por *Diaporthe helianthi* (Foto 1) en 61 % de lotes y 52 % con roya negra (*Puccinia helianthi*; Foto 2), una enfermedad infrecuente en la región sur de producción de girasol. Estos patógenos habrían iniciado sus infecciones en estadios vegetativos que coincidieron con las lluvias de noviembre. En zonas como los partidos más costeros del sudeste, con alta carga de inóculo del cancro del tallo por *Diaporthe* (y casos aislados de pudrición de capítulo), se observaron incidencias de hasta 30 % y lesiones de más de 10 cm de largo en el tallo. Con menor frecuencia se observaron lotes con *Verticillium*, roya blanca y escudo negro por *Phoma*. Entre los lotes de soja de 1<sup>a</sup> visitados (en promedio en R5), las enfermedades foliares típicas desarrollaron bajos niveles de severidad únicamente en los estratos inferiores, incluyendo a *Septoria*, *Cercospora* y el tizón bacteriano por *Pseudomonas*.

El registro de roya negra en girasoles del sudeste responde a la llegada de inóculo desde la zona de producción del norte argentino, donde a fines del 2025 se reportaron niveles preocupantes de esta enfermedad. La facilidad para transportarse de las uredosporas les permitió alcanzar la zona productora sur, aunque sin encontrar un ambiente favorable para generar una epifitía más severa. No obstante, es necesario prever que este inóculo podría persistir en los lotes en los que se observó y en

en condiciones ambientales más favorecedoras podría generar un daño mayor al observado en esta campaña. Las formas más efectivas para el manejo son el uso de híbridos de buen comportamiento, la eliminación de girasoles voluntarios y cuando fuera factible o conveniente, el uso de control químico.

Ante la duda, recordar la importancia de un diagnóstico correcto en los lotes. Eso determinará el tipo de inóculo que puede persistir en ese sitio y las eventuales medidas de manejo sanitario de cultivos posteriores en el corto, mediano y largo plazo. Ante cualquier duda, comunicarse con un laboratorio de Patología Vegetal en su área de influencia y/o con el Servicio de Diagnóstico de Fitoenfermedades de la EEA INTA Balcarce ([eeabalcarce.lpatveg@inta.gob.ar](mailto:eeabalcarce.lpatveg@inta.gob.ar) o [montoya.marina@inta.gob.ar](mailto:montoya.marina@inta.gob.ar)).



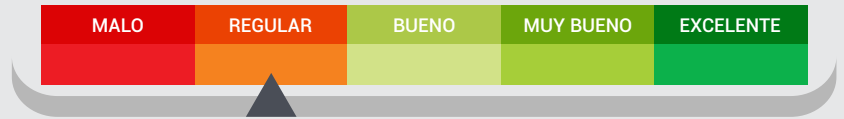
Foto izquierda. Cancro del tallo del girasol (*Diaporthe helianthi*; foto: M. Montoya). Foto derecha. Roya negra de girasol (*Puccinia helianthi*; foto: M. Montoya).



## PASTIZALES NATURALES



### Estado general



### Productividad

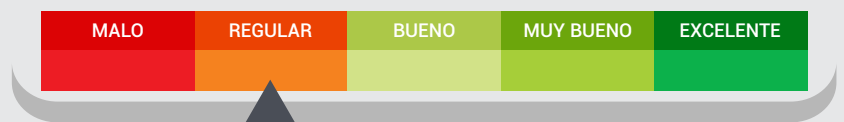
300 - 500 kg/ha

Durante febrero el crecimiento de los pastizales se mantuvo bajo debido a la falta de precipitaciones ocurridas en toda la zona. En general no se observaron situaciones de sobrepastoreo. Los pastizales se encontraban con acumulación de forraje de la primavera, seco y de baja calidad para el consumo del ganado. En algunas zonas las lluvias permitieron el nacimiento de especies como raigrás anual.

## PASTURAS PERENNES



### Estado general



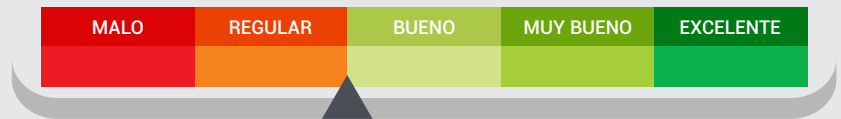
Durante el mes de febrero las pasturas perennes fueron perjudicadas en su crecimiento por el incremento de las temperaturas y las bajas precipitaciones ocurridas al igual que los pastizales. El aprovechamiento se realizó en el forraje acumulado durante la primavera, en muchos casos con una gran pérdida de calidad que impactó en las ganancias de peso diario de las recrias. Ver productividad en la sección **tasas de crecimiento**.



## VERDEOS Y RESERVAS FORRAJERAS



### Estado general



Durante el mes de febrero continuó el aprovechamiento de los verdesos de verano. Los lotes de maíz destinados a silo de planta entera fueron picados, el rendimiento y la calidad fue variable en función a las condiciones de crecimiento, pero con una disminución del rendimiento de un 25% en promedio. La siembra de verdesos de invierno está retrasada en toda la región debido a la sequía. Algunos lotes en el centro-oeste comenzaron a sembrarse a partir de mitad de mes.

## RODEOS DE CRÍA



### Estado general



En los rodeos de cría comenzaron a realizarse los destetes de terneros. Debido a eso es importante realizar las vacunaciones correspondientes previo al mismo, pensando particularmente en las enfermedades respiratorias y las clostridiales. También tener en cuenta la suplementación mineral, y aplicación de antiparasitario a esta categoría. En cuanto a las vacas es importante evaluar la condición corporal durante el otoño, pensando en la situación forrajera actual.



## TASAS DE PASTURAS

### FEBRERO

### CRECIMIENTO

(kg MS/ha/día)\*

Valores orientativos en base a condiciones de suelo y tiempo promedio de cada partido

- ALFALFA -

- FESTUCA -



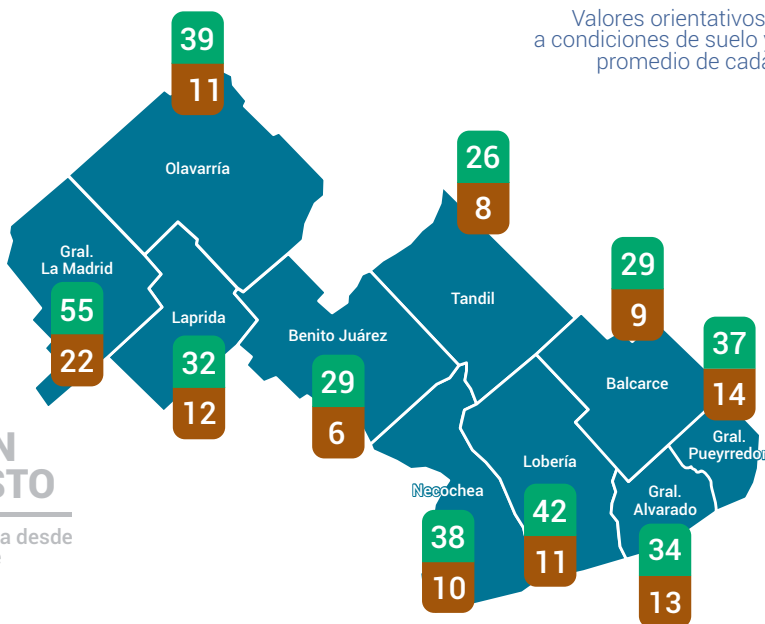
Compare la tasa diaria del mapa con lo que puede comer un animal por día

	kg MS/día
Vaca cría parida	> 10-12
Vaca cría seca	> 8-10
Ternero de recría	> 7-8
Novillo	> 9-12
Vaca lechera ordeño	> 10-14
Vaca lechera seca	> 10-12

► Para obtener la tasa de sus pasturas y verdes, consulte a su profesional de confianza

### GESTIÓN DEL PASTO

Descargala desde Play Store



### MARZO

### PRONÓSTICO

(kg MS/ha/día)\*

Valores orientativos en base a condiciones de suelo en el sudeste y centro - oeste de la EEA INTA Balcarce

Alfalfa: 30

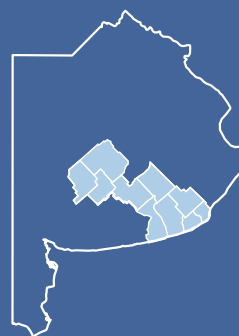
Festuca: 26

Alfalfa: 22

Festuca: 22

Estimaciones en función al agua del suelo a inicios de marzo y datos meteorológicos promedio de dicho mes.

Los datos de agua en el suelo son los elaborados por SEPA.



**FEBRERO 2026**

# Informe mensual agropecuario

INTA Balcarce y su área de influencia



iturraldeelortegui.m@inta.gov.ar

RRSS INTA Balcarce



Agrometeorología INTA Balcarce



Sitios de interés

**Conocé SEPA**

**Zonas agroecológicas homogéneas del INTA Balcarce**

**Sistema de información y gestión agrometeorológica**

**Actualización del algoritmo de estimación de la evapotranspiración real para el sensor VIIRS-Suomi NPP**

**Estimar el crecimiento de alfalfa, festuca y raigrás anual**

## **Autores**

Rosario Iturralde Elortegui (AER INTA Olavarría)  
Kevin Leaden (AER INTA Laprida)  
Lía Oyesqui (AER INTA Olavarría)  
Núria Lewczuk (EEA INTA Balcarce)  
Laura Echarte (EEA INTA Balcarce)  
Marina Montoya (Gpo. San. Veg. EEA INTA Balcarce)  
Juan Erreguerena (AER INTA Necochea)  
María Clara Llorens (CE Miramar MDA)

Diseño gráfico: Federico Miri (EEA INTA Balcarce)

Fotografía: Rosario Iturralde - Kevin Leaden - Lía Oyesqui

## **Colaboraron**

Patricio Oricchio (INTA, ICyA)  
Lucas Gusmerotti (INTA, ICyA)  
Natalia Gattinoni (INTA, ICyA)  
Vanesa Ramis (INTA, ICyA)  
Aimé Espindola (INTA, ICyA)  
Germán Berone (EEA INTA Balcarce)  
Germán Cantón (EEA INTA Balcarce)  
Verónica Iriarte (AER INTA Gral. La Madrid)  
Claudia Ischia (AER INTA Benito Juárez)  
Beatriz Pascal (AER INTA Lobería)  
Carolina Trogia (AER INTA Balcarce)  
Productores, profesionales y extensionistas de la EEA INTA Balcarce  
Ministerio de desarrollo Agrario de la Provincia de Buenos Aires



Secretaría de Agricultura, Ganadería y Pesca